

УДК 531.3

## ЧИСЛЕННОЕ МОДЕЛИРОВАНИЕ ВРАЩЕНИЯ ТВЕРДОГО ТЕЛА С ЗАПОЛНЕННОЙ ЖИДКОСТЬЮ ПОЛОСТЬЮ, ИМЕЮЩЕЙ РАДИАЛЬНЫЕ РЕБРА

И. Б. Богоряд, Н. П. Лаврова

Научно-исследовательский институт прикладной математики и механики  
Томского государственного университета, 634050 Томск  
E-mail: adm@niipmm.tsn.tomsk.ru

Конечно-разностным методом решена краевая задача о нестационарном вихревом течении вязкой несжимаемой жидкости во вращающемся с переменной угловой скоростью цилиндрическом сосуде с радиальными ребрами. Результаты решения используются для расчета движения системы твердое тело — полость с жидкостью. Проведено сравнение полученных результатов с известными экспериментальными данными.

**Ключевые слова:** вязкая жидкость, радиальные ребра, вихревое течение, гидродинамические нагрузки.

**Введение.** Динамическое взаимодействие вращающегося твердого тела с несжимаемой жидкостью, заполняющей его полость с радиальными ребрами, изучается в работах [1–3] и др. Эти работы посвящены, прежде всего, прикладным проблемам динамики ракет-носителей и космических аппаратов, снабженных жидкостными ракетными двигателями и соответственно баками для жидкого топлива.

Подход, развитый в работах [1–3], не предполагает решения краевой задачи о вихревом движении жидкости в сосуде с ребрами для расчета гидродинамических нагрузок. Модель, предлагаемая в данных работах, является феноменологической. В частности, выражение для погонной гидродинамической нагрузки на ребро аналогично предложенному в [2] и широко используется в линейных задачах динамики твердых тел, содержащих жидкость в полостях с ребрами:

$$f_n = \rho C \sqrt{u_n} U_n, \quad U_n = \int_{-\infty}^t \frac{\partial u_n}{\partial \tau} \frac{d\tau}{\sqrt{t-\tau}}.$$

Здесь  $\mathbf{n}$  — орт нормали к поверхности ребра;  $\mathbf{u}$  — вектор относительной скорости жидкости, вычисленной в предположении, что ребро отсутствует;  $C$  — эмпирическая функция геометрических параметров ребер и их расположения.

В данной работе рассматривается математическая модель, отличающаяся от известных тем, что гидродинамические нагрузки на смоченную поверхность находятся из решения соответствующей краевой задачи.

**Постановка задачи.** Твердое тело имеет заполненную вязкой несжимаемой жидкостью полость с радиальными ребрами. Эта система обладает общей осью симметрии и вращается вокруг этой оси под действием момента внешних сил  $M_x(t)$ . Течение жидкости описывается уравнениями Навье — Стокса и неразрывности. Рассматриваются только цилиндрические полости: либо прямой круговой цилиндр, либо соосные цилиндры, т. е. тор

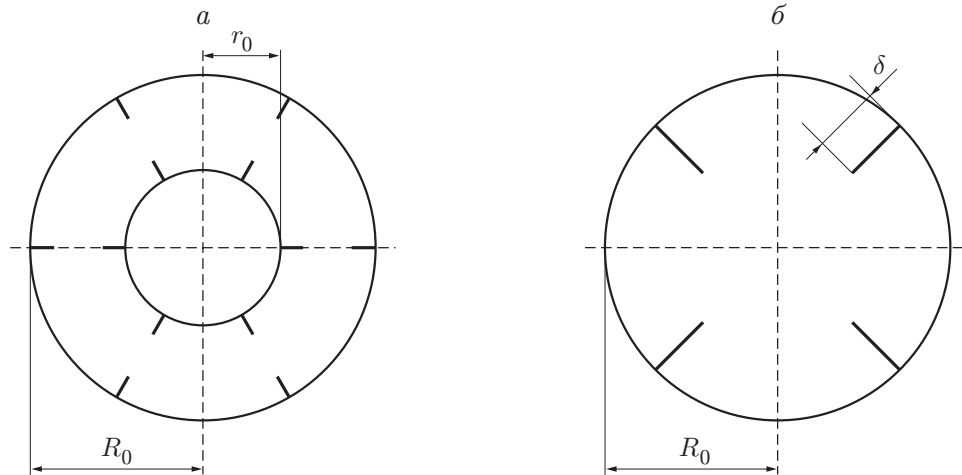


Рис. 1. Поперечные сечения полостей:  
 а — тор; б — круговой цилиндр

прямоугольного сечения (рис. 1). При этом размеры полости и числа Рейнольдса предполагаются такими, чтобы днище и крышка полости не вносили заметных возмущений в течение жидкости во всем ее объеме. В силу этого течение жидкости можно считать двумерным. При таких предположениях уравнение вращения твердого тела имеет вид

$$(I^0 + I)\dot{\omega}_x + \rho \frac{d}{dt} \int_Q r u_\theta dQ = M_x + M_s, \quad (1)$$

где  $I^0 + I$  — суммарный момент инерции твердого тела и затвердевшей жидкости в полости;  $\omega_x(t)$  — угловая скорость вращения твердого тела;  $u_\theta$  — тангенциальная составляющая относительной скорости жидкости  $\mathbf{u} = \{u_x \equiv 0, u_r, u_\theta\}$  в связанной с твердым телом системе цилиндрических координат  $(0, x, r, \theta)$ ;  $d/dt$  — полная производная по времени в этой системе координат;  $Q$  — область, заполненная жидкостью;  $M_s$  — момент сил вязкого трения на цилиндрических поверхностях, днище и крышке полости. В той же системе отсчета записываются уравнения неразрывности и движения жидкости:

$$\operatorname{div} \mathbf{u} = 0,$$

$$\frac{\partial u_r}{\partial t} + \frac{1}{2} \frac{\partial u^2}{\partial r} - u_\theta (\operatorname{rot}_1 \mathbf{u} + 2\omega_x) + \frac{1}{\rho} \frac{\partial p}{\partial r} - \nu \left( \Delta u_r - \frac{u_r}{r^2} - \frac{2}{r^2} \frac{\partial u_\theta}{\partial \theta} \right) = 0, \quad (2)$$

$$\frac{\partial (u_\theta + \omega_x r)}{\partial t} + \frac{1}{2} \frac{\partial u^2}{\partial r} + u_r (\operatorname{rot}_1 \mathbf{u} + 2\omega_x) + \frac{1}{\rho} \frac{\partial p}{\partial \theta} - \nu \left( \Delta u_\theta + \frac{2}{r^2} \frac{\partial u_r}{\partial \theta} + \frac{u_\theta}{r^2} \right) = 0.$$

Здесь  $\operatorname{rot}_1 \mathbf{u} = \mathbf{i}_1 \cdot \operatorname{rot} \mathbf{u}$ ;  $\mathbf{i}_1$  — орт оси  $Ox$ .

Уравнения (1), (2), краевые условия прилипания на смоченной поверхности полости и ребер и начальные условия образуют сопряженную начально-краевую задачу о вращении твердого тела с вязкой жидкостью в его полости.

**Метод расчета.** Решение сопряженной задачи (1), (2) проводится разностными методами, аппроксимирующими дифференциальные уравнения с первым порядком точности по времени и пространственным координатам. Предварительно в расчетной схеме уравнение неразрывности в (2) заменяется уравнением Пуассона для давления

$$\Delta p = -2\rho \left( \left( \frac{\partial u_r}{\partial r} \right)^2 + \left( \frac{\partial u_\theta}{\partial r} \right)^2 - \left( \omega_x + \frac{\partial u_\theta}{\partial r} \right) \operatorname{rot}_1 \mathbf{u} - \omega_x^2 \right) + \rho \frac{\omega_x}{r} \frac{\partial u_r}{\partial \theta}. \quad (3)$$

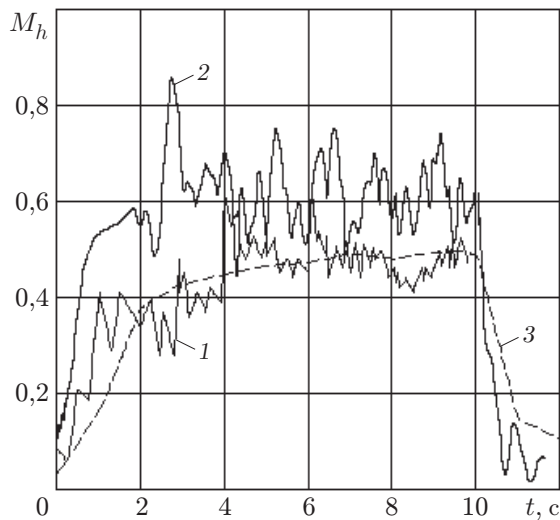


Рис. 2. Зависимость гидродинамического момента от времени:

1 — экспериментальная зависимость; 2 — расчетная зависимость; 3 — сглаженная экспериментальная зависимость

Краевые условия для уравнения Пуассона являются нормальными к смоченным поверхностям производными от давления, следующими из уравнений (2) с учетом краевых условий прилипания для вектора скорости. Для решения разностных аналогов уравнений (1)–(3) строится итеративная схема Либмана.

При равномерном распределении ребер по длине окружности поперечного сечения полости с учетом периодичности решения по углу  $\theta$  интегрирование уравнений (2) проводится по области изменения координаты  $r$  от  $r_0$  до  $R_0$  и координаты  $\theta$  от 0 до  $2\pi/m$ , где  $m$  — количество ребер (пар ребер).

Параметры расчетной схемы, обеспечивающие устойчивость и сходимость численного решения, определены в ходе численных экспериментов варьированием размерности сетки по пространственным переменным в диапазоне  $2 \cdot 10^3 \div 1,2 \cdot 10^5$  ячеек и шага интегрирования по времени  $\Delta t$  в диапазоне  $10^{-3} \div 10^{-5}$ . При этом для достижения устойчивости решения на достаточно больших интервалах времени и в широком диапазоне параметров  $\omega_x(t)$  и  $\dot{\omega}_x(t)$  кинематическая вязкость рассмотренных жидкостей завышалась в  $5 \div 10$  раз, для того чтобы число Рейнольдса, вычисленное по ширине ребра  $\delta$ , имело порядок не более  $10^3$ . Численный эксперимент выявил слабое (за исключением начального периода времени) влияние этой меры обеспечения устойчивости на искомую интегральную характеристику задачи — гидродинамический момент  $M_h(t)$ . Прямого экспериментального подтверждения этого вывода авторам данной работы не известно. В работе [4], где рассматриваются другие условия эксперимента — обтекание цилиндрического препятствия стационарным безграничным потоком, отмечается, что увеличение коэффициента вязкости  $\nu$  приблизительно на порядок (в окрестности  $Re \approx 10^4$ ) “... не обнаруживает вообще или обнаруживает малое влияние вязкости” на число Струхала  $Sh = f\delta/|u|$  ( $f$  — частота срыва вихрей), однако “... оказывает важное влияние на начало образования вихревой системы”.

В силу того что представленные на рис. 2 экспериментальная и расчетная (с искусственно завышенным значением  $\nu$ ) зависимости  $M_h(t)$  имеют наибольшее различие приблизительно в течение первых 2 с с начала процесса торможения полости (т. е. на участке формирования вихревой системы), изложенные выше качественные выводы можно распространить на условия решаемой задачи.

**Результаты расчетов.** Расчеты проведены для входных данных задачи, соответствующих физическим экспериментам [3, 5] по исследованию вращения твердого тела с жидкостью в двух режимах:

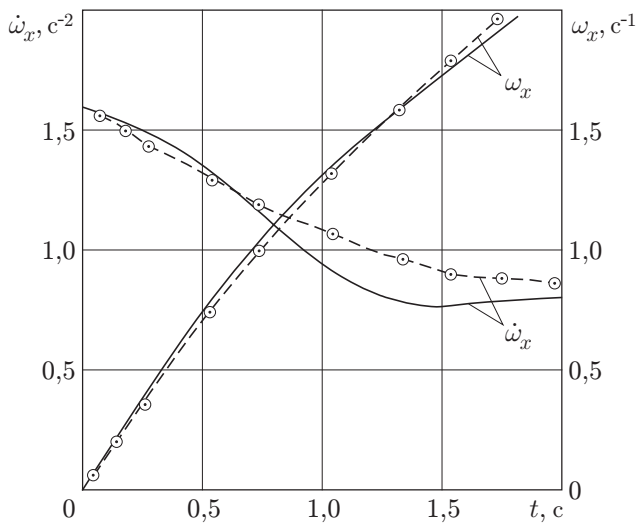


Рис. 3. Зависимости  $\omega_x(t)$  и  $\dot{\omega}_x(t)$  при раскрутке цилиндрической полости моментом постоянной величины:

штриховая линия — экспериментальные данные [3]; сплошная линия — результаты расчета

— в режиме “раскрутки”:

$$u_r = u_\theta = 0, \quad \omega_x(0) = \omega_x^0 = 0, \quad \dot{\omega}_x(0) = \dot{\omega}_x^0 > 0, \quad t = 0, \\ \dot{\omega}_x(t) > 0, \quad t > 0;$$

— в режиме торможения:

$$u_r = u_\theta = 0, \quad \omega_x(0) = \omega_x^0 > 0, \quad \dot{\omega}_x(0) = \dot{\omega}_x^0 < 0, \quad t = 0, \\ \dot{\omega}_x(t) < 0, \quad t > 0.$$

На рис. 3 представлены экспериментальные и расчетные зависимости  $\omega_x(t)$  и  $\dot{\omega}_x(t)$  при вращении твердого тела с цилиндрической полостью, заполненной водой, под действием постоянного момента внешних сил  $M_x = 0,96 \text{ Н} \cdot \text{м}$  (режим “раскрутки”). Пустота ( $R_0 = 0,175 \text{ м}$ , высота  $H = 0,4 \text{ м}$ ) имеет четыре равноотстоящих ребра ( $\delta = 0,034 \text{ м}$ ). Момент инерции  $I^0 + I = 1,03 \text{ кг} \cdot \text{м}^2$  (здесь учитываются моменты инерции сухого твердого тела и вращающейся части экспериментального стенда).

Расчет для режима торможения выполнен для полости в форме тора прямоугольного сечения ( $R_0 = 0,2 \text{ м}$ ,  $r_0 = 0,14 \text{ м}$ ,  $H = 0,04 \text{ м}$ ) с шестью парами равноотстоящих ребер ( $\delta = 0,02 \text{ м}$ ). Жидкость представляет собой сплав (эвтектика) Вуда при температуре  $128 \text{ }^\circ\text{C}$ . Кинематические параметры  $\omega_x(t)$  и  $\dot{\omega}_x(t)$  заданы таким образом (начальная скорость  $\omega_x^0 = 9,87 \text{ с}^{-1}$ ,  $\dot{\omega}_x = -0,983 \text{ с}^{-2}$ ), чтобы полная остановка вращения твердого тела происходила в течение  $10,04 \text{ с}$ .

Экспериментальная и расчетная зависимости гидродинамического момента

$$M_h = -\rho \frac{d}{dt} \int_Q r u_\theta dQ + M_s$$

для этих исходных данных показаны на рис. 2. В предположении, что зигзагообразный характер экспериментальной кривой обусловлен механическими вибрациями экспериментального стенда (см. [3]), эта кривая должна быть отфильтрована от указанных помех. В результате получаем гладкую, практически монотонную на отрезке  $t = 0 \div 10 \text{ с}$  кривую 3. В дальнейшем по сглаженной зависимости определяются значения коэффициентов согласования при идентификации математической модели [5].

Однако расчетная кривая  $M_h(t)$ , как и экспериментальная, имеет зигзагообразный (пульсирующий) характер. При этом как на экспериментальной, так и на расчетной кривых наблюдаются максимальные пики (крупномасштабные пульсации) с интервалом приблизительно  $1 \div 2 \text{ с}$  и пики меньшей амплитуды (пульсации меньших масштабов) на более

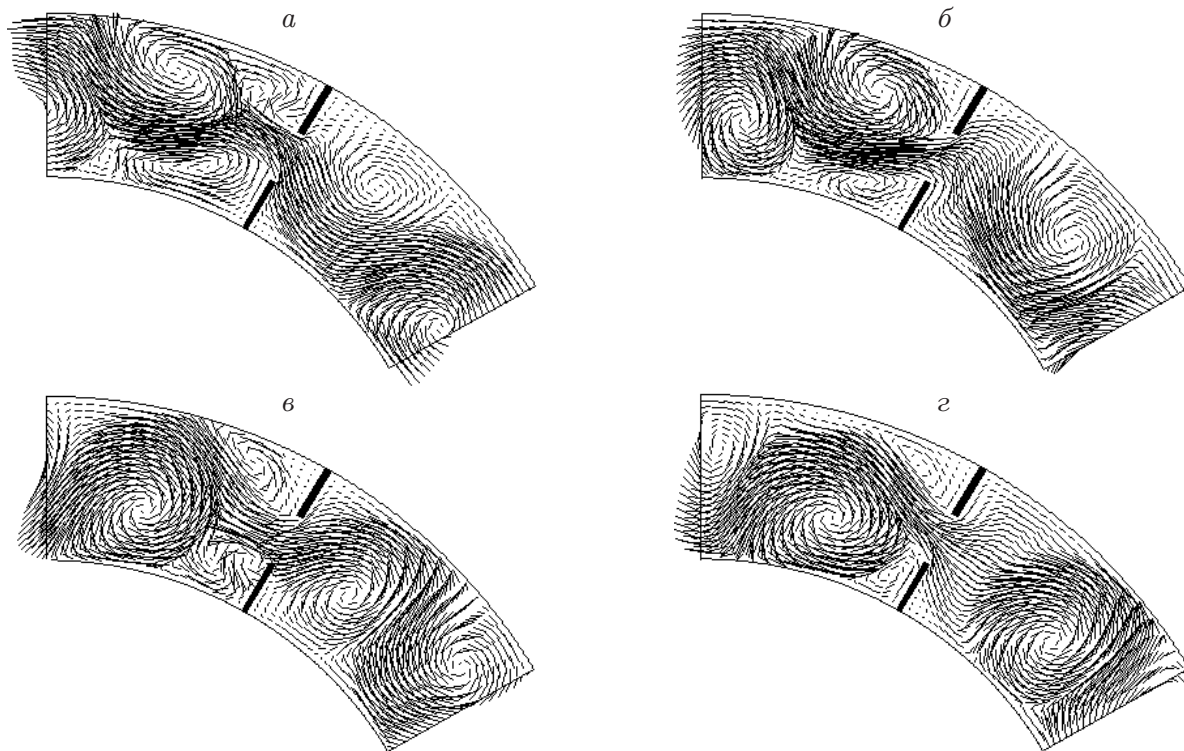


Рис. 4. Поля скоростей жидкости в различные моменты времени:  
 $a - t = 3 \text{ с}$ ;  $б - t = 4 \text{ с}$ ;  $в - t = 5 \text{ с}$ ;  $г - t = 6 \text{ с}$

высокой частоте. По терминологии теории турбулентности, эти пульсации описывают детерминированный хаос, в данном случае — нерегулярный процесс перестройки вихревой системы течения жидкости: перемещение вихрей, их эволюцию и взаимодействие. На рис. 4 представлены фрагменты хронограммы поля относительных скоростей, на которых видна следующая перестройка: чередование с периодом около 1 с количества крупномасштабных вихрей справа и слева от ребер.

#### ЛИТЕРАТУРА

1. Рабинович Б. И. Вихревые процессы и динамика твердого тела / Б. И. Рабинович, В. Г. Лебедев, А. И. Мытарев. М.: Наука, 1992.
2. Роговой В. М. Динамическая устойчивость космических аппаратов с ЖРД / В. М. Роговой, С. В. Черемных. М.: Машиностроение, 1975.
3. Чурилов Г. А., Клишев О. П., Мытарев А. И., Рабинович Б. И. Экспериментальное исследование тороидального МГД-элемента. Физическая и математическая модели процесса медленного торможения // Полет. 2001. № 9. С. 36–42.
4. Ричардсон Э. Динамика реальных жидкостей. М.: Мир, 1965.
5. Рабинович Б. И., Клишев О. П., Мытарев А. И., Чурилов Г. А. Математическая модель космического аппарата с полостями, частично заполненными жидкостью. Режим нестационарного вращения // Полет. 2003. № 10. С. 50–56.

Поступила в редакцию 15/XI 2005 г.,  
в окончательном варианте — 18/IV 2006 г.